Научно-исследовательский, проектно-изыскательский институт «Ленметрогипротранс»



Методика обработки поверхностных волн, зарегистрированных с целью изучения состояния заобделочного пространства, на примере участка нижегородского метрополитена

Автор: **РАХИМОВ Э.А.,** младший научный сотрудник

г. Санкт-Петербург 2025

Актуальность работы



Результат аварии в Петербургском метрополитене. Авария на перегоне между станциями «Лесная» и «Площадь Мужества»

- 1) 5 декабря 1995 года размыв в Петербургском метрополитене. Авария на перегоне между станциями «Лесная» и «Площадь Мужества». На площади Мужества и прилегающих городских магистралях образовались провалы, треснули стены домов и наземных сооружений.
- 2) 18 ноября 1989 года через три дня после открытия регулярного движения до станций "Комсомольская" и "Парк культуры" произошел массовый прорыв грунта в части тоннеля. Движение поездов до этих станций было временно перекрыто.

Краткие сведения о районе работ

- Обследования тоннельной обделки проводилось на одном из перегонов Нижегородского метрополитена
- Категория сложности объекта I (особо опасный, технически сложный объект), соответствует повышенному уровню ответственности
- Верхняя часть разреза в основном сложена песком мелкой и средней крупности, а также суглинками. Согласно априорной геологической информации и скважинным данным в разрезе встречаются зоны разуплотнения пород и суффозионные полости

Номер слоя	Описание	Литология	Мощность
1	Песок мелкий/средней крупности		7-10
2	Суглинок		5-7
3	Суглинок уплотнённый		3-5

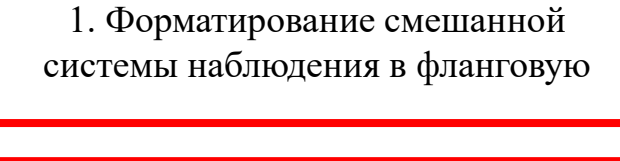
Методика выполнения работ

- Геофизический метод МПВ
- В работе использовалась сейсмостанция ЭЛЛИСС-3
- Количество каналов 48
- Методика «встречных» и «нагоняющих» годографов
- Шаг ПП- 2 метра
- Методика выполнения работ позволяет обработать сейсмограммы по технологии MASW

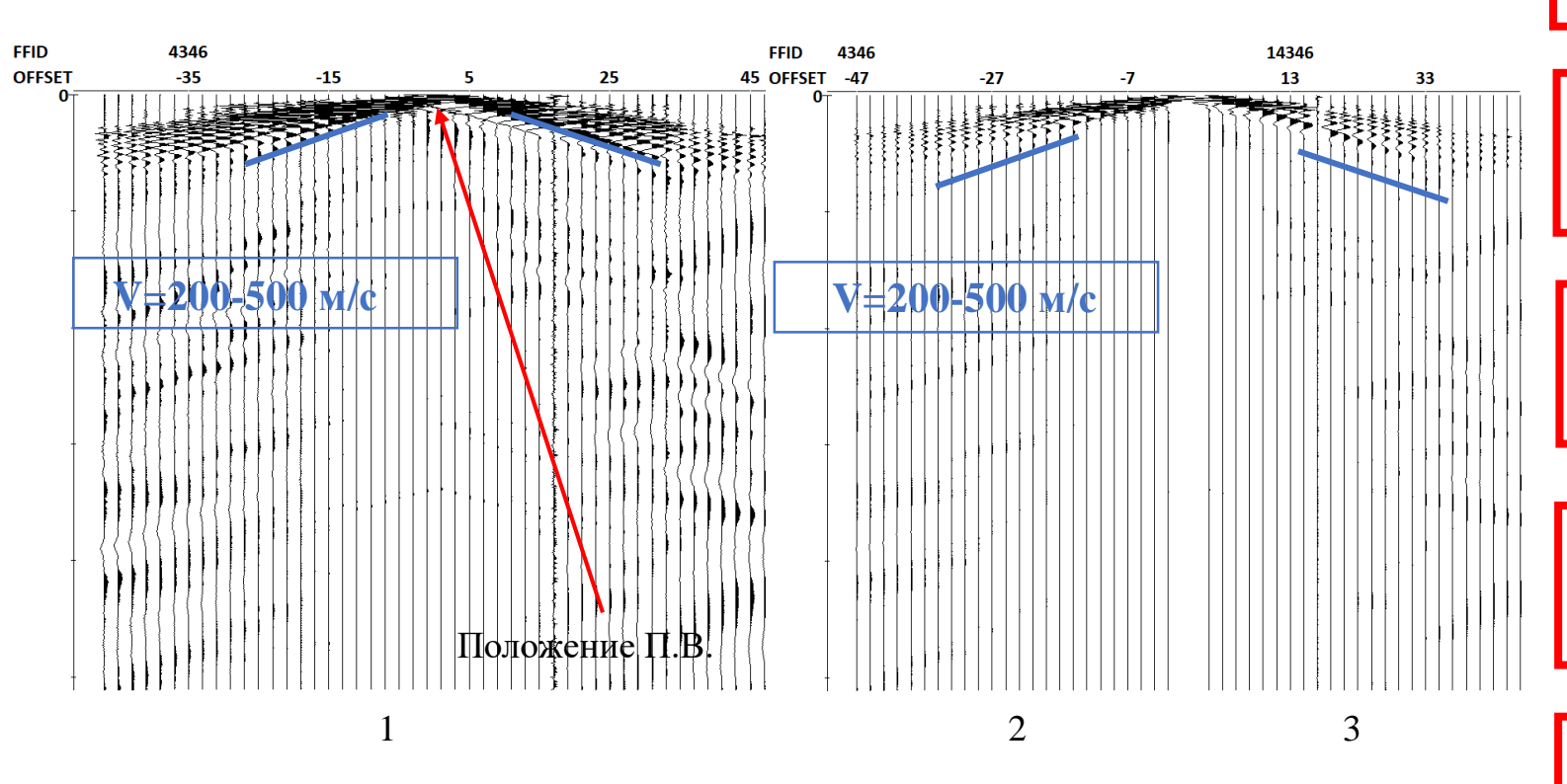


Выполнение работ методом МПВ. Красными стрелками показано положение датчиков

• Метод многоканального анализа поверхностных волн (англ. "Multichannel Analysis of Surface Waves" – сокр. MASW) заключается в обработке данных поверхностных волн с целью изучения верхней части разреза. Метод позволяет восстановить распределение скоростей поперечных (S) волн. Используется фланговая система наблюдения.



2. Выделение поверхностных волн

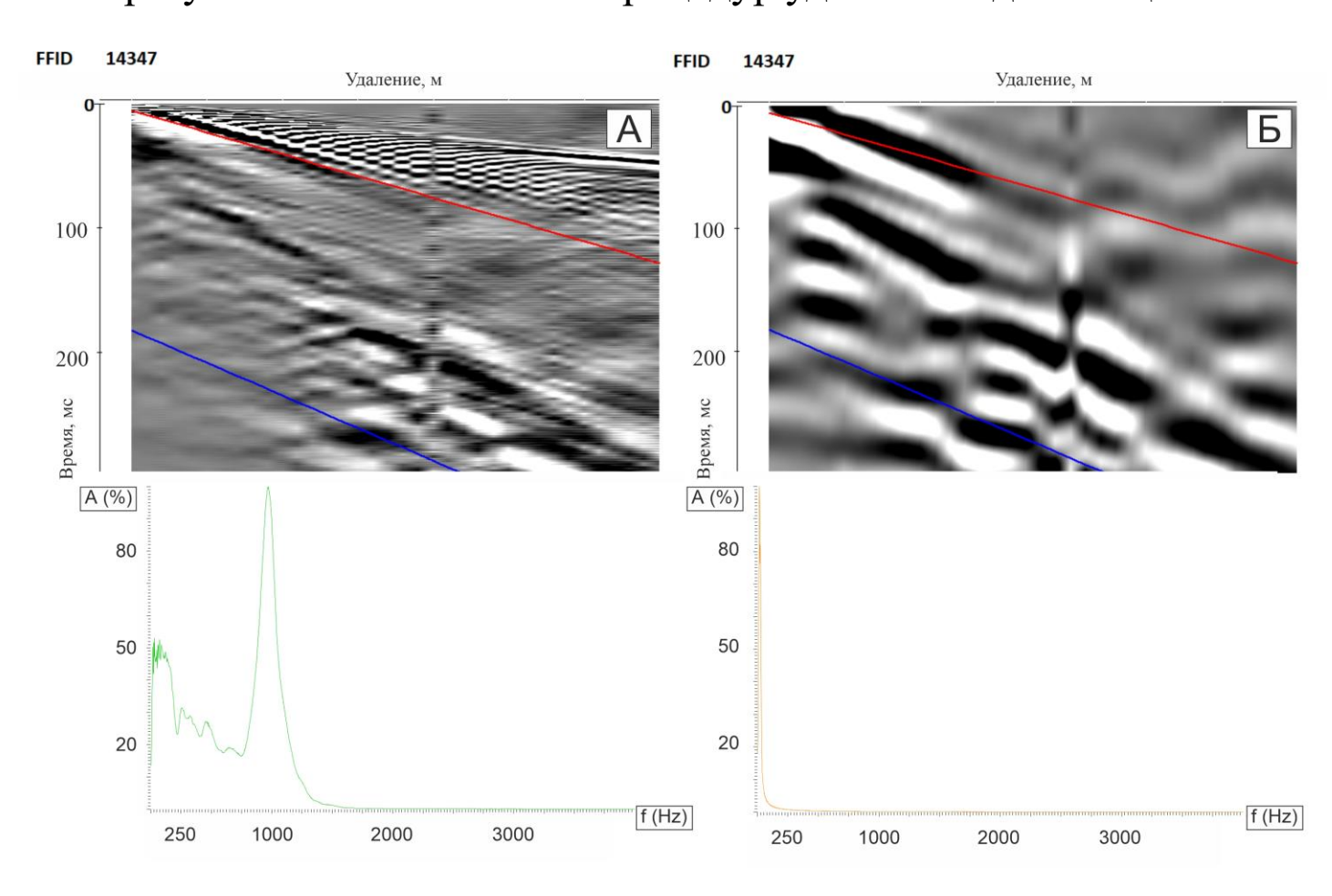


- 3. Выбор оптимальной длины приёмной линии
- 4. Расчет и пикировка дисперсионных изображений
- 5. Определение параметров начальной модели
 - 6. Инверсия. Получение скоростного разреза Vs

Этап 1. Форматирование смешанной системы наблюдения в фланговую. Синими линиями показаны поверхностные волны на сейсмограммах

Этапы выполнения обработки

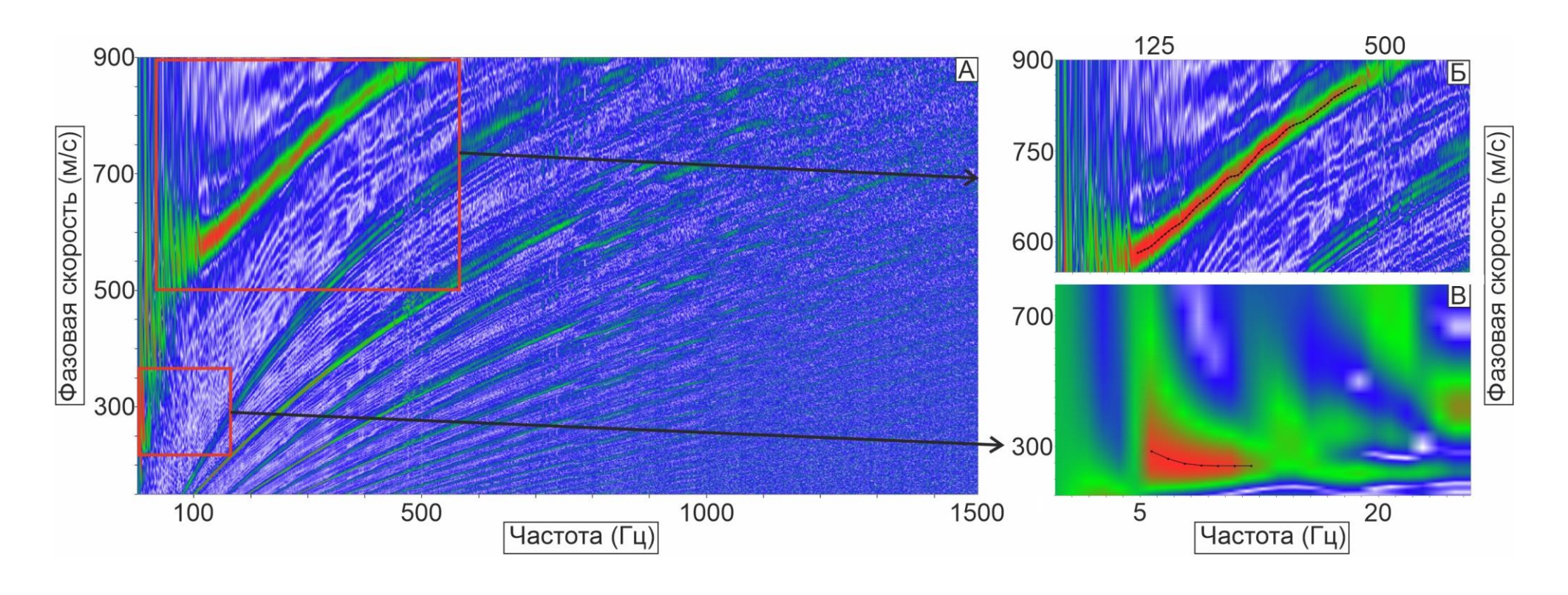
- Для выделения поверхностных волн применялась процедура полосовой фильтрации и мьютинга.
- В результате выполненных процедур удалось выделить целевой сигнал



Этап 2. Выделение поверхностных волн. Цветом нанесены линии мьютинга

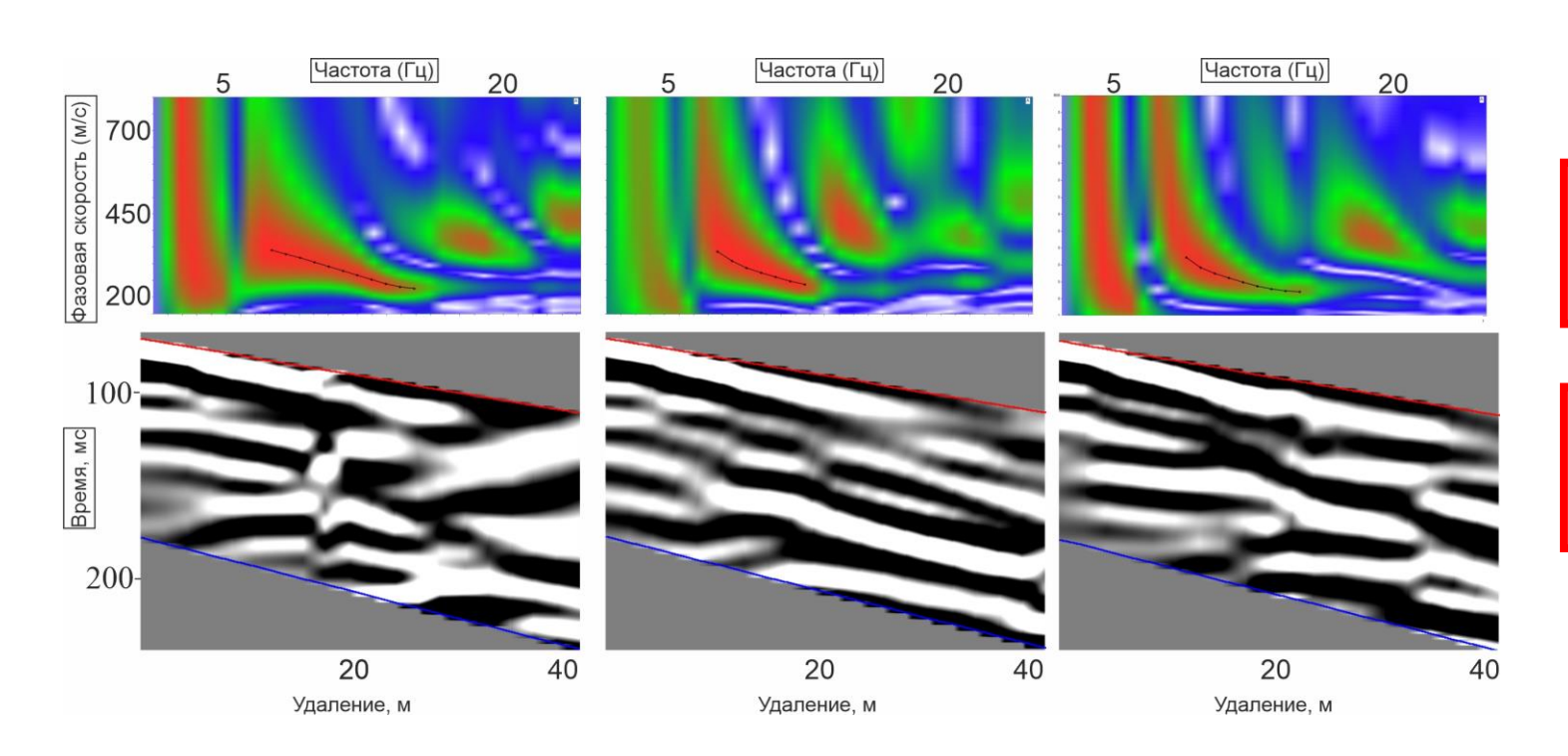
2. Выделение поверхностных волн

На дисперсионных изображениях по причине инверсионного разреза (наличие железобетонной обделки), присутствует как низкочастотная часть моды, несущая информацию о глубинных частях разреза, так и высокочастотная область, несущая информацию о верхних частях разреза. В нашем случае целевой сигнал поверхностных волн находятся в диапазоне частот от 8 до 17 Гц и имеет кажущиеся скорости в диапазоне от 200 до 350 м/с для фундаментальной моды



Присутствие на дисперсионных изображениях низкочастотной и высокочастотной моды. Черными точками показана пикировка дисперсионных изображений

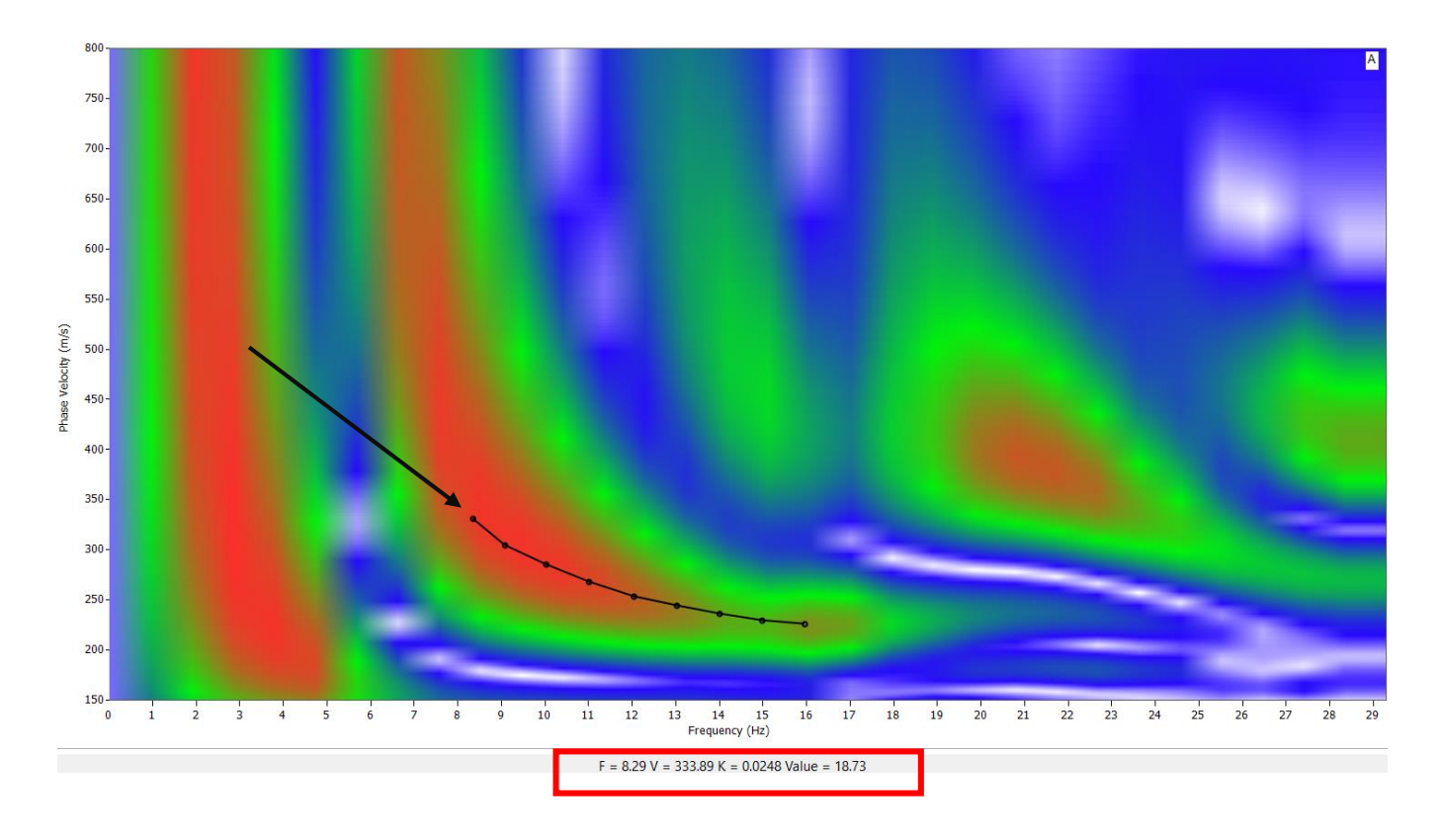
• Выбор оптимальной длины приемной линии определялся опытным путем.



- 3. Выбор оптимальной длины приёмной линии
- 4. Расчет и пикировка дисперсионных изображений

Этап 3-4. Выделение поверхностных волн. Цветом нанесены линии мьютинга

- Глубина модели 20 м.
- Значения плотности и коэффициента Пуассона 1,9 г/см^3 и 0,46 соответственно.
- Количество слоёв 4
- Для надежности решения обратной задачи было выбрано 7 итераций. На всех пикетах среднеквадратическая невязка не превышала 2 м/с

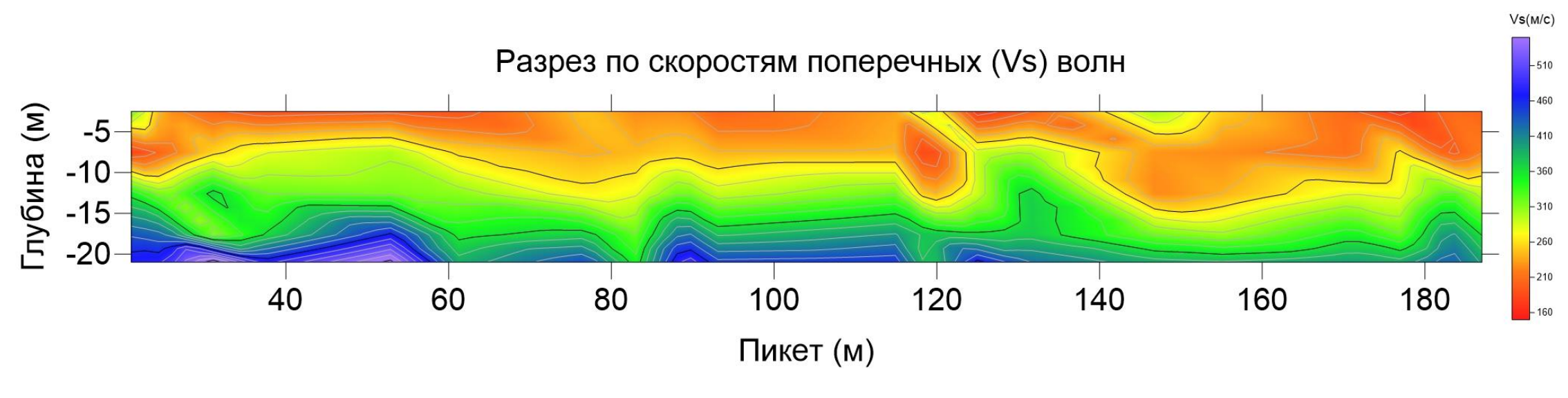


Этап 5-6. Пример дисперсионного изображения по профилю, красным контуром выделены значение частоты и фазовой скорости точки пикировки, показанной стрелкой

$$\frac{L}{2} = \frac{v \times T}{2} = \frac{v \times \frac{1}{f}}{2}$$
(1)
$$\frac{v \times \frac{1}{f}}{2} \approx \frac{334 \times \frac{1}{8.3}}{2} \approx 20 \text{ M}$$

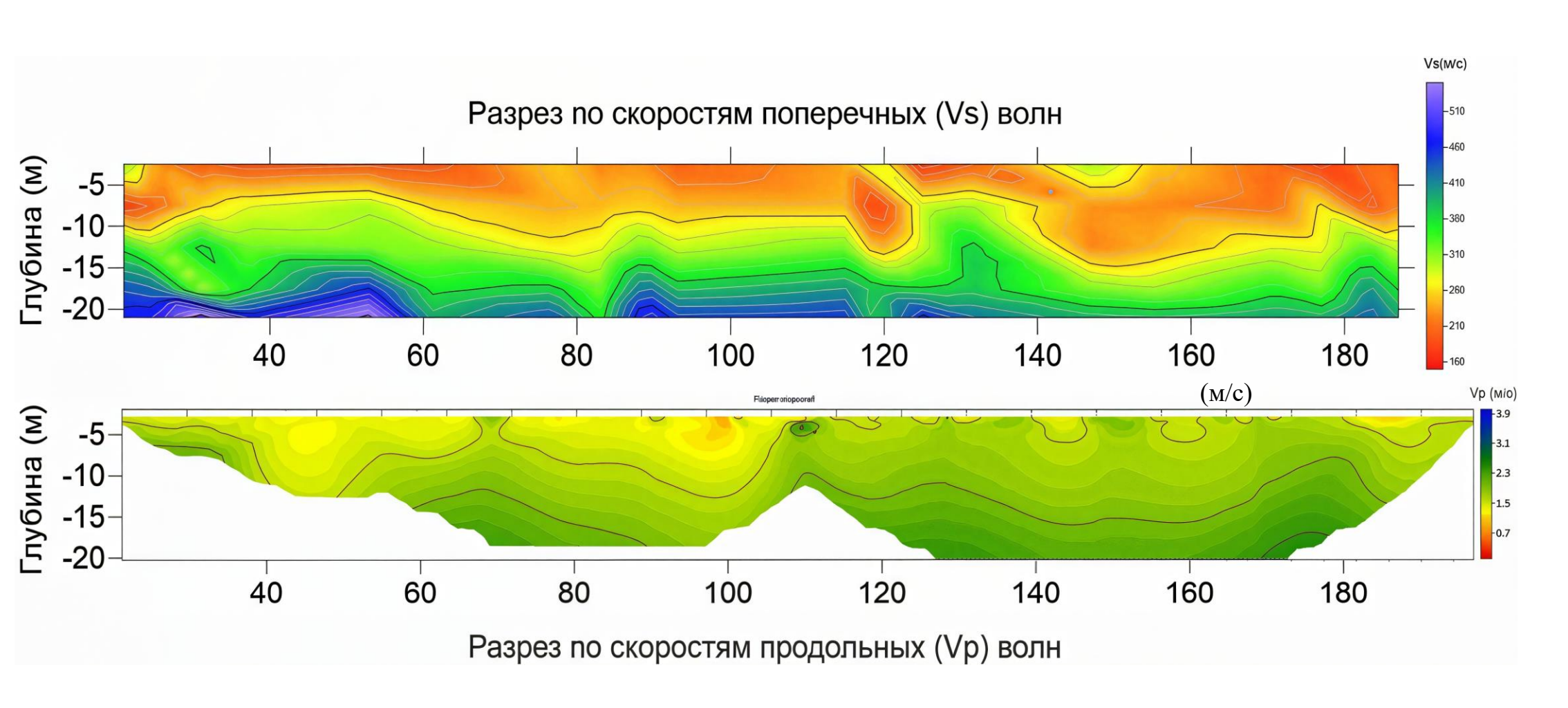
- 5. Определение параметров начальной модели
- 6. Инверсия. Получение скоростного разреза Vs

- По результатам инверсии в верхней части разреза можно выделить 3 слоя.
- До глубины 10 м неплотные пески со скоростями поперечных волн (Vs) $\sim 0.16-0.26 \text{ км/c}$
- Ниже глубины 10 м и до \sim 17 м выделяются породы: суглинки со скоростями поперечных волн (Vs) \sim 0.26-0.36 км/с
- Далее встречаются более плотные суглинки со скоростями поперечных волн (Vs) $\sim 0.36 0.52$ км/с



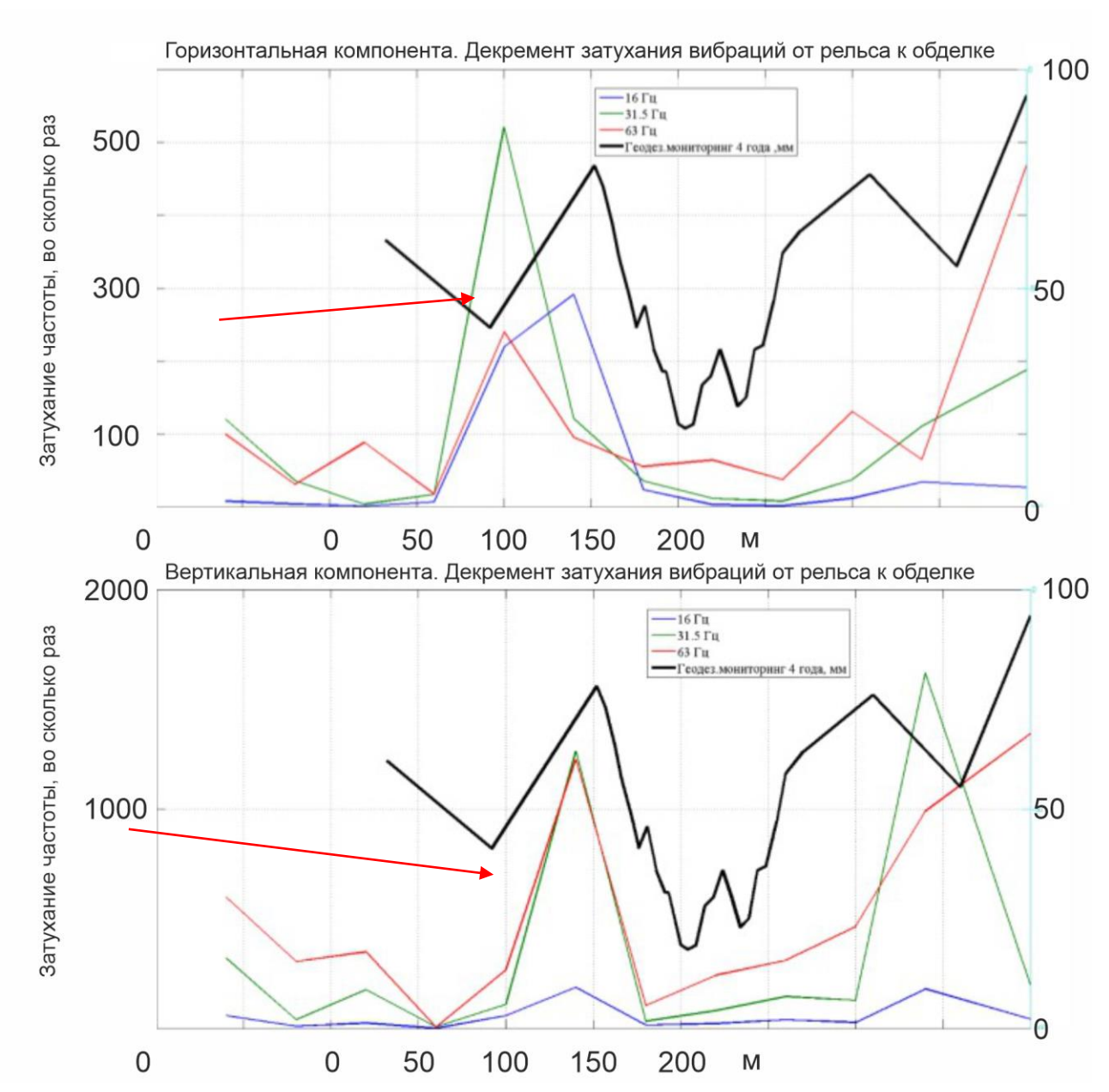
Разрез поперечной скорости, полученный в результате обработки по технологии MASW

Сравнение результатов **MASW** с другими методами



Разрез по скоростям поперечных и продольных волн сверху и снизу соответственно

Сравнение результатов **MASW** с другими методами



Графики затухания и величины осадок тоннеля. Стрелкой показана область высоких значений затухания частот для исследуемого участка

12 | 13

Выводы

- В результате проделанной работы удалось выработать оптимальную методику обработки данных в рамках метода MASW, зарегистрированных с целью изучения состояния заобделочного пространства. Данные методические рекомендации могут быть полезными для реализации других проектов.
- Результат обработки, полученный методом MASW, можно комбинировать с результатами, полученными на преломленных волнах. Такой подход даёт возможность оценить деформационно-прочностные свойства пород для прогноза геологического строения и оценки возможных нагрузок на грунты при эксплуатации подземных сооружений. Извлечение деформационно-прочностных характеристик по результатам комбинированной обработки является предметом будущих исследований.
- Результаты полученные методом MASW демонстрируют высокую корреляцию с другими методами мониторинга. Так, разрезы полученные по поперечным и продольным волнам отличаются синхронными понижениями скоростей, что свидетельствует о наличии ослабленных/разуплотнённых зон в верхней части разреза. Аналогичная картина наблюдаются по данным геодезического мониторинга и графикам вибромониторинга.

Спасибо за внимание!

Список литературы.

- 1. Бойко О. В. Определение упругих характеристик низкоскоростных пород, перекрытых высокоскоростным слоем обделки тоннеля, по материалам сейсморазведки: дис. к.г.-м.н.. наук: 25.00.10- СПб., 2015. 135 с.
- 2. Дорохин К.А. Обоснование и разработка метода оценки геодинамического состояния массива горных пород на основе дисперсионных параметров сейсмических волн: дис. к. техн. наук: 25.00.20. СПб., 2017. 196 с.
- 3. Дорохин К.А. Оценка геодинамического состояния массива горных пород методом дисперсионного анализа поверхностных волн // ГеоЕвразия-2018. 2018. с. 648-653.
- 4. Половков В.В., Терёхина Я.Е., Рахимов Э.А., А.А. Кудинов, А.В. Пономаренко А.В., Соловьёва М.А., Буланова И.А., Токарев М.Ю., Горбачев С.В. Методика обработки поверхностных волн, зарегистрированных при сейсморазведочных работах 3D МОВ-ОГТ с буксируемым оборудованием с целью изучения строения верхней части разреза шельфа Печорского моря // Геофизика, 2024. №2. С. 52-57.
- 5. Половков В.В., Рахимов Э.А., Кудинов А.А. Методика обработки поверхностных волн, зарегистрированных при сейсморазведочных работах 3D МОВ-ОГТ с буксируемым оборудованием с целью изучения строения верхней части разреза шельфа Печорского моря // ГеоЕвразия-2024. 2024. с. 100-103

Цель геофизического мониторинга

• Целью геофизического мониторинга является выявление технического состояния тоннельной обделки (своевременное выявление негативных процессов).

Исходя из поставленной цели, необходимо провести следующие работы:

- Геофизическое обследование состояния затоннельного пространства:
- - обнаружение и оконтуривание геологических структур и процессов, влияющих на деформации обделки тоннеля на глубину до 10 м от внутреннего контура обделки;
- - определение состояния вмещающего грунтового массива на контакте с обделкой, наличия пустот за обделкой;
- - определение фактических деформационно-прочностных свойств вмещающего грунтового массива и его структуры, обводненность;

Выбор базы наблюдения

